

## • 化学成分 •

### 大麦苗化学成分研究

李梦双, 巴铭钰<sup>#</sup>, 黄豆豆\*, 孙连娜\*

上海中医药大学中药学院, 上海 201203

**摘要:** 目的 研究大麦苗 *Hordeum vulgare* 的化学成分及降糖活性。方法 采用硅胶、大孔吸附树脂、Sephadex LH-20 葡聚糖凝胶、ODS、半制备 HPLC 等色谱方法进行分离纯化, 根据理化性质及 ESI-MS、NMR 等现代谱学技术进行化合物结构鉴定。通过  $\alpha$ -淀粉酶抑制实验评价化合物降糖活性。结果 从大麦苗地上部分 80%乙醇提取物中分离得到 10 个化合物, 分别鉴定为 6,8,4'-三羟基黄酮-7-C- $\beta$ -D-吡喃葡萄糖苷 (1)、3-C- $\beta$ -D-glucopyranosyl-1-hydroxy-7-methoxy-xanthone (2)、luteolin 7-O- $\beta$ -glucoside-3'-methyl ether (3)、芒柄花黄素 (4)、柑橘查耳酮 (5)、苯丙氨酸 (6)、(7E)-9-hydroxymegastigma-4,7-dien-3-on-9-O- $\beta$ -D-glucopyranoside (7)、4'-glucosyl-6'''-sinapoylsaponarin (8)、曲克芦丁 (9)、divarioside A (10)。化合物 6 和 10 降糖活性较好, 抑制率分别为 75.40% 和 68.70%。结论 化合物 1 为新的黄酮类化合物, 命名为大麦苗苷 A; 化合物 2~10 均为首次从该植物中分离得到。化合物 6 和 10 具有较好的  $\alpha$ -淀粉酶抑制活性。

**关键词:** 大麦苗; 降糖活性; 6,8,4'-三羟基黄酮-7-C- $\beta$ -D-吡喃葡萄糖苷; 大麦苗苷 A; 芒柄花黄素; 柑橘查耳酮; 苯丙氨酸

中图分类号: R284.1 文献标志码: A 文章编号: 0253-2670(2025)12-4165-06

DOI: 10.7501/j.issn.0253-2670.2025.12.001

### Chemical constituents from seedlings of *Hordeum vulgare*

LI Mengshuang, BA Mingyu, HUANG Doudou, SUN Lianna

School of Pharmacy, Shanghai University of Traditional Chinese Medicine, Shanghai 201203, China

**ABSTRACT: Objective** To study the chemical constituents from *Hordeum vulgare* seedlings with their hypoglycemic activities.

**Methods** Silica gel, microporous adsorption resin, Sephadex LH-20, ODS, and semi-preparation HPLC were used for isolation and purification, then the structures of obtained compounds were identified by physicochemical properties and modern spectroscopic techniques such as ESI-MS and NMR. The hypoglycemic effects of compounds were examined by  $\alpha$ -amylase inhibition test. **Results** A total of ten compounds were isolated from the 80% ethanol extract of the aboveground part of *H. vulgare* seedlings, which were identified as 6,8,4'-trihydroxyflavone-7-C- $\beta$ -D-glucopyranoside (1), 3-C- $\beta$ -D-glucopyranosyl-1-hydroxy-7-methoxy-xanthone (2), luteolin 7-O- $\beta$ -glucoside-3'-methyl ether (3), formononetin (4), naringenin chalcone (5), phenylalanine (6), (7E)-9-hydroxymegastigma-4,7-dien-3-on-9-O- $\beta$ -D-glucopyranoside (7), 4'-glucosyl-6'''-sinapoylsaponarin (8), troxerutin (9), and divarioside A (10). Compounds 6 and 10 had good hypoglycemic activity, with inhibition rates of 75.40% and 68.70%, respectively. **Conclusion** Compound 1 is new flavonoid compound, named damaimiaoside A. Compounds 2—10 are isolated from this plant for the first time. Compounds 6 and 10 have good inhibitory activities of  $\alpha$ -amylase.

**Key words:** *Hordeum vulgare* L. seedlings; hypoglycemic effects; 6,8,4'-trihydroxyflavone-7-C- $\beta$ -D-glucopyranoside; damaimiaoside A; formononetin; naringenin chalcone; phenylalanine

大麦苗是禾本科 (Gramineae) 大麦属 *Hordeum* Linn. 植物大麦 *Hordeum vulgare* L. 的嫩茎叶。明代

李时珍的《本草纲目》中记载: “麦苗, 味辛、寒、无毒。消酒毒、暴热、酒疸、目黄。捣烂绞汁口饮

收稿日期: 2025-04-03

基金项目: 国家自然科学基金资助项目 (82304659); 上海市科技兴农重点攻关项目 (2017-02-08-00-08-F00074)

作者简介: 李梦双 (1998—), 女, 硕士研究生, 研究方向为中药药效物质基础。E-mail: 1026371582@qq.com

#共同第一作者: 巴铭钰 (2002—), 女, 硕士研究生, 研究方向为中药药效物质基础。E-mail: 2017264925@qq.com

\*通信作者: 孙连娜, 女, 副教授。E-mail: sssnmr@163.com

黄豆豆, 男, 讲师。E-mail: hdd890920@163.com

之，又解虫毒，除烦闷，解时疾狂热，退胸膈热，利小肠”<sup>[1]</sup>。现代药理研究表明大麦苗有降血糖、抗氧化、抗炎、降低胆固醇、抗肿瘤、抗溃疡等重要功效<sup>[2-6]</sup>。研究表明大麦苗在降糖有较显著的活性，鲜瑶等<sup>[7]</sup>以2型糖尿病患者80例为研究对象并对其进行降血糖的临床研究，结果显示，大麦苗对血糖有很好的调节作用，可以明显降低患者血糖浓度。目前有关于大麦苗的化学成分研究较少。因此，本研究对大麦苗的化学成分进行分离纯化，从中分离得到10个化合物（结构见图1），分别鉴定为1个黄酮类新化合物：6,8,4'-三羟基黄酮-7-C-β-D-吡喃葡萄糖苷（6,8,4'-trihydroxyflavone-7-C-β-D-glucopyranoside，1）；7个黄酮类化合物：3-C-β-D-glucopyranosyl-1-hydroxy-7-methoxy-xanthone（2）、

luteolin 7-O-β-glucoside-3'-methyl ether（3）、芒柄花黄素（formononetin，4）、柑橘查耳酮（naringenin chalcone，5）、4'-glucosyl-6'''-sinapoylsaponarin（8）、曲克芦丁（troxerutin，9）、divarioside A（10）；1个生物碱类化合物：苯丙氨酸（phenylalanine，6）；1个倍半萜化合物：(7E)-9-hydroxymegastigma-4,7-dien-3-on-9-O-β-D-glucopyranoside（7）。其中，化合物1为新化合物，命名为大麦苗苷A，化合物2~10均为首次从该植物中分离得到。研究表明，大麦苗降血糖和抗氧化能力较强<sup>[8-9]</sup>，为进一步研究大麦苗中化合物的降糖活性，本实验对分离得到的10个化合物进行体外α-淀粉酶活性评估。结果显示，化合物6和10具有较好的α-淀粉酶抑制活性。

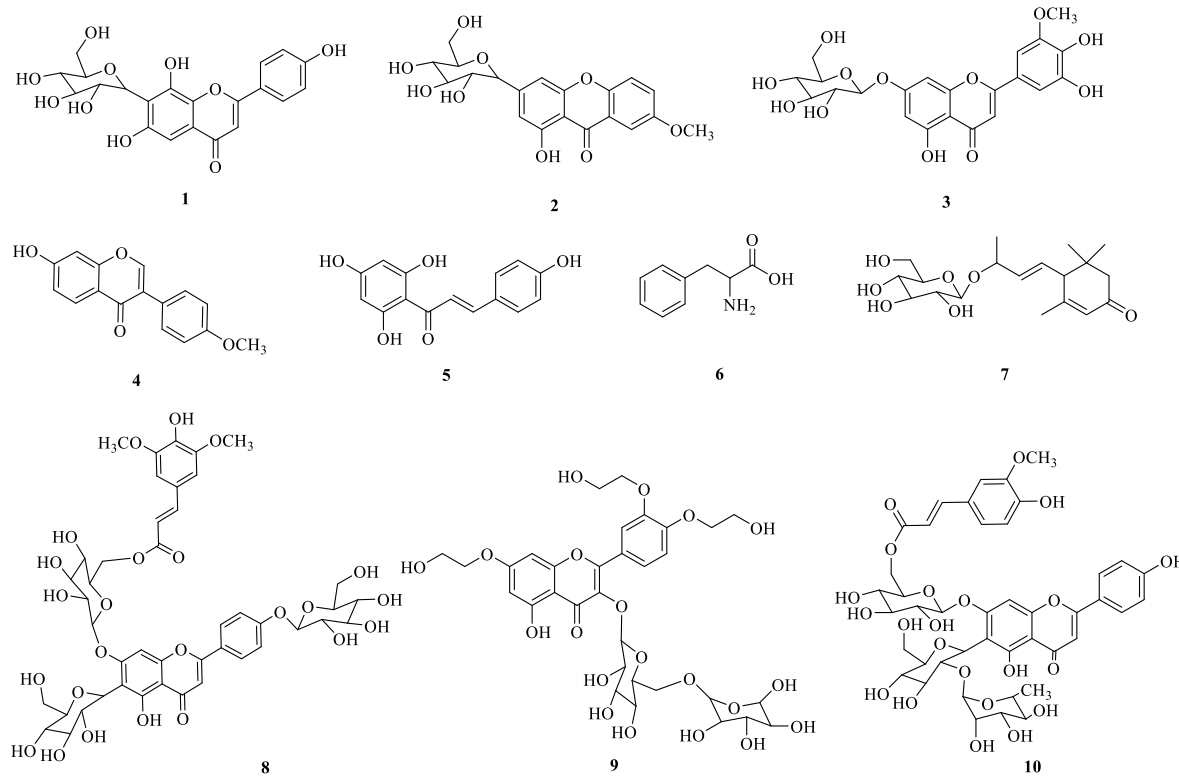


图1 化合物1~10的化学结构  
Fig. 1 Chemical structures of compounds 1—10

## 1 仪器与材料

柱色谱硅胶（200~300目）；薄层色谱硅胶HSGF254（烟台江友硅胶开发公司）；反向硅胶板Silica gel 60RP-18 F<sub>254</sub>（德国Merck公司）；C<sub>18</sub>反向硅胶填料（GEL ODS-AQ-HG，日本YMC Group）；Sephadex LH-20凝胶（瑞典GE healthcare公司）；MCI gel-CHP-20P、D101大孔树脂（日本三菱化学公司）；Agilent 1260半制备高效液相色谱仪[安捷

伦科技（中国）有限公司，DAD检测器，波长设置为320、280、210 nm同时检测，色谱柱填料为ODS，250 mm×10 mm，5 μm]；Agilent 6530B超高效液相串联飞行时间质谱仪[安捷伦科技（中国）有限公司]；Bruker AVANCE III核磁共振仪[布鲁克（北京）科技有限公司]；乙醇、正丁醇、醋酸乙酯、石油醚、甲醇、乙腈、冰醋酸、二氯甲烷（分析纯，上海超联化工有限公司）；甲醇、乙腈（色谱级，赛

默飞世尔科技有限公司); UV1901 紫外分光光度计(上海棱光技术有限公司); ResearchPlus 移液枪; SY-360H 超声仪(上海诚献仪器设备有限公司); Milli-Q 超纯水净化仪(美国密理博公司)。阿卡波糖(批号 BJ37719, 质量分数>98%, 拜耳医药保健有限公司);  $\alpha$ -淀粉酶(Sigma 公司, 批号 102684207)。Spectramax i3x 多功能酶标仪(美谷分子仪器有限公司); 淀粉、碘酸钾等(分析纯, 国药集团药业股份有限公司)。

大麦苗于 2018 年 3 月采集于上海市农业科学院, 由刘成洪教授鉴定为禾本科大麦属植物大麦 *H. vulgare* L. 的嫩茎叶, 其标本(HV20180318)存于上海中医药大学创新楼。

## 2 提取与分离

取大麦苗 10 kg, 常温下用 40 L 80%乙醇浸泡 48 h, 150 L 80%乙醇渗漉提取。提取液减压浓缩至无醇味, 用石油醚、醋酸乙酯、正丁醇依次萃取。石油醚部位、正丁醇部位和醋酸乙酯部位各得到浸膏 267、150、70 g。

正丁醇部位浸膏(150 g)经 MCI 柱色谱, 依次用不同体积浓度(0、10%、30%、50%、70%、90%、100%)的乙醇-水系统洗脱, 得到 14 个流分 Fr<sub>A1</sub>~Fr<sub>A14</sub>。

Fr<sub>A1</sub> 经 ODS 反相柱色谱, 以乙腈-水(1:9→1:0)洗脱, 得到 13 个流分 Fr<sub>A1-1</sub>~Fr<sub>A1-13</sub>。Fr<sub>A1-3</sub> 反复经 LH-20 葡聚糖凝胶柱色谱, 以 40%甲醇-水洗脱富集, 得到化合物 **10**(12 mg)。

Fr<sub>A3</sub> 经 ODS 反相柱色谱, 以乙腈-水(1:9→1:0)洗脱, 得到 8 个流分 Fr<sub>A3-1</sub>~Fr<sub>A3-8</sub>。Fr<sub>A3-2</sub> 反复经 LH-20 葡聚糖凝胶柱色谱以 80%甲醇-水系统等度洗脱后得到化合物 **9**(2 mg)。

Fr<sub>A5</sub> 经 ODS 反相柱色谱以乙腈:水系统梯度洗脱(1:9→1:0)得到 11 个组分(Fr<sub>A5-1</sub>~Fr<sub>A5-11</sub>)。Fr<sub>A5-8</sub> 中析出化合物 **8**(2 mg)。将 Fr<sub>A5-4</sub>~Fr<sub>A5-9</sub> 合并, 经 LH-20 葡聚糖凝胶柱色谱以 80%甲醇-水系统等度洗脱, 得到 9 个组分(Fr<sub>A5-4-1</sub>~Fr<sub>A5-4-9</sub>)。将 Fr<sub>A5-4-6</sub> 经 ODS 反相柱以乙腈:水系统梯度洗脱(1:9→1:0)得到 13 个组分(Fr<sub>A5-4-6-1</sub>~Fr<sub>A5-4-6-13</sub>)。Fr<sub>A5-4-6-7</sub> 经半制备柱色谱利用 18%的乙腈-水系统以 4.7 mL/min 等度洗脱, 得到化合物 **2**(1 mg,  $t_R=23.9$  min)。将 Fr<sub>A5-8</sub> 反复经 LH-20 葡聚糖凝胶柱色谱以 80%甲醇-水系统等度洗脱后得到化合物 **3**(2 mg)。

Fr<sub>A8</sub> 经 ODS 反相硅胶柱色谱以乙腈:水系统梯度洗脱(1:9→1:0)点半合并得到 Fr<sub>A8-1</sub>~Fr<sub>A8-5</sub>。Fr<sub>A8-1</sub> 经 LH-20 葡聚糖凝胶纯甲醇洗脱得到 5 个组分(Fr<sub>A8-1-1</sub>~Fr<sub>A8-1-5</sub>)。Fr<sub>A8-1-2</sub> 经半制备柱色谱(0~10 min, 35%甲醇-水; 10~30 min: 40%甲醇-水, 体积流量 4 mL/min), 得到化合物 **6**(30 mg,  $t_R=16.8$  min)。Fr<sub>A8-3</sub> 经 ODS 反相柱色谱, 乙腈-水(1:9→1:0)梯度洗脱, 得到 11 个组分(Fr<sub>A8-3-1</sub>~Fr<sub>A8-3-11</sub>)。Fr<sub>A8-3-4</sub> 经半制备柱色谱 40%甲醇等度洗脱得到化合物 **1**(1 mg,  $t_R=17.2$  min)。Fr<sub>A8-3-7</sub> 经半制备柱色谱, 30%甲醇等度洗脱得到化合物 **7**(40 mg,  $t_R=19.3$  min)。

醋酸乙酯部位(70 g), 经 MCI 柱色谱, 依次用不同体积分数的乙醇-水(0、10%、30%、50%、70%、90%、100%)系统洗脱, 得到 14 个流分 Fr<sub>B1</sub>~Fr<sub>B8</sub>。Fr<sub>B4</sub> 经 ODS 反相柱色谱以乙腈-水(1:9→1:0)系统梯度洗脱, 得到 7 个流分(Fr<sub>B4-1</sub>~Fr<sub>B4-7</sub>)。Fr<sub>B4-4</sub> 经半制备柱色谱, 以 25%的乙腈-水系统等度洗脱, 得到化合物 **4**(2 mg,  $t_R=25.1$  min)。Fr<sub>B4-6</sub> 经 LH-20 葡聚糖凝胶柱色谱, 以甲醇等度洗脱后得到 5 个流分(Fr<sub>B4-6-1</sub>~Fr<sub>B4-6-5</sub>)。将 Fr<sub>B4-6-4</sub> 经半制备柱色谱, 24%乙腈-水等度洗脱, 得到化合物 **5**(1 mg,  $t_R=23.3$  min)。

## 3 $\alpha$ -淀粉酶降糖活性评价

本实验采用 600  $\mu\text{g}/\text{mL}$  阿卡波糖为阳性对照, 蒸馏水溶液为空白对照组, 另设 6 个样品组。用 96 孔细胞培养板, 每组 6 个复孔, 3 个复孔为有  $\alpha$ -淀粉酶组, 另 3 个复孔为无  $\alpha$ -淀粉酶组。按以下步骤进行:(1)每组先往 6 个复孔分别加入 25  $\mu\text{L}$  样品溶液(终质量浓度为 600  $\mu\text{g}/\text{mL}$ )、空白对照组溶液、阳性对照组溶液, 37 °C 温孵 10 min;(2)每组 6 个复孔的前 3 个加入 12.5  $\mu\text{L}$   $\alpha$ -淀粉酶溶液, 后 3 个孔加 12.5  $\mu\text{L}$  蒸馏水, 37 °C 温孵 10 min;(3)每组各复孔加入 12.5  $\mu\text{L}$  淀粉溶液, 37 °C 温孵 10 min; 再分别于各复孔加入 100  $\mu\text{L}$  显色试剂碘酸钾溶液终止反应;(4)在 630 nm 波长下测定各组吸光度( $A$ ),  $A$  值反映  $\alpha$ -淀粉酶水解淀粉的量, 直接反映  $\alpha$ -淀粉酶的活性, 按公式计算各组的  $\alpha$ -淀粉酶抑制率, 实验数据用  $\bar{x} \pm s$  表示( $n=3$ )。

$$\text{抑制率} = 1 - (A_{\text{样品不加酶}} - A_{\text{样品加酶}}) / (A_{\text{空白对照不加酶}} - A_{\text{空白对照加酶}})$$

## 4 结果

### 4.1 结构鉴定

化合物 **1**: 亮黄色无定型粉末, ESI-MS  $m/z$ :

431.096 3 [M-H]<sup>-</sup> (计算值为 431.098 4), 结合 <sup>13</sup>C-NMR 数据推断其分子式为推测分子式为 C<sub>21</sub>H<sub>20</sub>O<sub>10</sub>, 不饱和度为 12。[α]<sub>D</sub><sup>25</sup> -2.00 (c 0.050, MeOH)。UV λ<sub>max</sub><sup>MeOH</sup> (nm): 198, 214, 270, 340。IR ν<sub>max</sub><sup>KBr</sup> (cm<sup>-1</sup>): 2 922, 1 508, 1 489, 1 356, 1 250, 1 180; 表明化合物 1 中存在苯环、羟基; <sup>1</sup>H-NMR (600 MHz, CD<sub>3</sub>OD) 数据 (表 1) 显示存在 1 组对位取代的苯环氢信号 δ<sub>H</sub> 7.80 (2H, d, J = 8.9 Hz), 6.91 (2H, d, J = 8.9 Hz)、2 个芳氢单峰信号 δ<sub>H</sub> 6.55 (1H, s), 6.46 (1H, s)、1 个异头氢 δ<sub>H</sub> 4.90 (1H, d, J = 10.0 Hz) 及 δ<sub>H</sub> 4.50~3.20 之间的多个氢信号, 推测有含有 1 组 β 构型葡萄糖片段; <sup>13</sup>C-NMR (150 MHz, CD<sub>3</sub>OD) 数据 (表 1) 显示共有 21 个碳信号。其中, δ<sub>C</sub> 183.9 为 1 个羰基碳信号, δ<sub>C</sub> 166.1、165.4、162.8、162.0、158.7 为 5 个连氧碳信号, δ<sub>C</sub> 129.4、117.0 为 4 个 CH 信号, 证实有对位取代苯环即 B 环的存在, δ<sub>C</sub> 82.6~62.9 中 5 个 CH 和 1 个 CH<sub>2</sub> 的碳信号证实存在 1 组葡萄糖。HMBC 谱 (图 2) 中, δ<sub>C</sub> 6.46 (H-5) 和 δ<sub>C</sub> 109.4 (C-7), 165.4 (C-6) 相关, 且葡萄糖端基

表 1 化合物 1 的 <sup>1</sup>H-NMR 和 <sup>13</sup>C-NMR 数据 (600/150 MHz, CD<sub>3</sub>OD)

Table 1 <sup>1</sup>H-NMR and <sup>13</sup>C-NMR data of compound 1 (600/150 MHz, CD<sub>3</sub>OD)

碳位	δ <sub>C</sub>	δ <sub>H</sub>
1		
2	166.1	
3	103.8	6.55 (1H, s)
4	183.9	
5	95.4	6.46 (1H, s)
6	165.4	
7	109.3	
8	162.0	
9	158.7	
10	105.0	
1'	123.1	
2' 6'	129.4	7.80 (2H, d, J = 8.9 Hz)
3' 5'	117.0	6.91 (2H, d, J = 8.9 Hz)
4'	162.8	
Glc-1'	75.3	4.90 (1H, d, J = 10.0 Hz)
2'	72.6	3.48 (1H, m)
3'	80.2	3.48 (1H, m)
4'	71.8	3.43 (1H, m)
5'	82.6	4.12 (1H, m)
6'	62.9	3.88 (1H, dd, J = 2.3, 12.1 Hz) 3.75 (1H, dd, J = 5.5, 12.1 Hz)

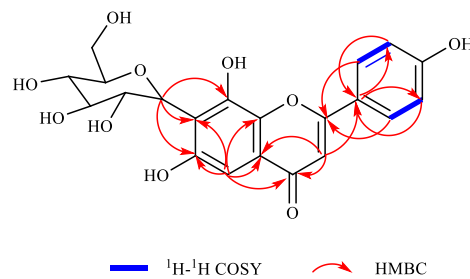


图 2 化合物 1 的结构及关键 <sup>1</sup>H-<sup>1</sup>H COSY、HMBC 相关  
Fig. 2 Structure and Key <sup>1</sup>H-<sup>1</sup>H COSY, HMBC  
correlations of compound 1

氢 δ<sub>H</sub> 4.90 和 δ<sub>C</sub> 109.4 (C-7), 165.4 (C-6), 162.0 (C-8) 相关, 提示葡萄糖连在黄酮的 7 位, 且 C-6、C-8 均被羟基取代。因此, 确定化合物 1 的结构为 6,8,4'-三羟基黄酮-7-C-β-D-吡喃葡萄糖苷, 基于上述分析及 Sci-Finder 检索, 确定化合物 1 为新化合物, 并命名为大麦苗苷 A。

化合物 2: 黄色粉末, ESI-MS *m/z*: 403.1 [M-H]<sup>-</sup>; 化学式为 C<sub>20</sub>H<sub>20</sub>O<sub>9</sub>。<sup>1</sup>H-NMR (600 MHz, DMSO-*d*<sub>6</sub>) δ: 13.57 (1H, s, 1-OH), 7.35 (1H, s, H-8), 7.03 (1H, s, H-6), 6.54 (1H, s, H-5), 6.51 (1H, s, H-2), 4.59 (1H, d, J = 9.8 Hz, glc-H-1'), 3.90 (1H, s, OCH<sub>3</sub>), 3.17~3.68 (5H, m, glc-H-2'~6'); <sup>13</sup>C-NMR (150 MHz, DMSO-*d*<sub>6</sub>) δ: 182.3 (C-9), 163.8 (C-3), 161.0 (C-1), 156.7 (C-4a), 151.2 (C-10a), 148.5 (C-7), 121.8 (C-8a), 120.8 (C-6), 116.2 (C-5), 110.6 (C-8), 109.3 (C-9a), 103.5 (C-2), 94.2 (C-4), 81.9 (C-5'), 79.4 (C-3'), 73.5 (C-1'), 71.0 (C-2'), 70.7 (C-4'), 61.9 (C-6'), 56.4 (OCH<sub>3</sub>)。以上数据与文献报道基本一致<sup>[10]</sup>, 故鉴定化合物 2 为 3-C-β-D-glucopyranosyl-1-hydroxy-7-methoxy-xanthone。

化合物 3: 黄色粉末, ESI-MS *m/z*: 459.1 [M-H]<sup>-</sup>; 化学式为 C<sub>23</sub>H<sub>24</sub>O<sub>9</sub>。<sup>1</sup>H-NMR (600 MHz, DMSO-*d*<sub>6</sub>) δ: 7.58 (1H, d, J = 9.0 Hz, H-6'), 7.56 (1H, d, J = 1.4 Hz, H-2'), 6.92 (3H, m, H-3, 8, 5'), 6.44 (1H, s, H-6), 5.05 (1H, d, J = 7.8 Hz, glc-H-1'), 3.89 (3H, s, OCH<sub>3</sub>); <sup>13</sup>C-NMR (150 MHz, DMSO-*d*<sub>6</sub>) δ: 182.3 (C-4), 164.8 (C-2), 163.3 (C-7), 161.5 (C-5), 157.4 (C-9), 148.8 (C-3', 4'), 121.2 (C-1', 6'), 116.5 (C-5'), 110.6 (C-2'), 105.8 (C-10), 103.4 (C-3), 100.5 (C-1'), 99.9 (C-6), 95.4 (C-8), 77.7 (C-3'), 76.9 (C-5'), 73.6 (C-2'), 70.0 (C-4'), 61.1 (C-6'), 56.3 (OCH<sub>3</sub>)。以上数据与文献报道基本一致<sup>[11]</sup>, 故鉴定化合物 3 为 luteolin 7-O-β-glucoside-3'-methyl ether。

**化合物 4:** 白色颗粒, ESI-MS  $m/z$ : 267.1 [M-H]<sup>-</sup>; 化学式为 C<sub>16</sub>H<sub>12</sub>O<sub>4</sub>。<sup>1</sup>H-NMR (600 MHz, DMSO-*d*<sub>6</sub>)  $\delta$ : 8.34 (1H, s, H-2), 7.98 (1H, d, *J*=8.4 Hz, H-5), 6.95 (1H, dd, *J*=8.4, 2.2 Hz, H-6), 6.88 (1H, d, *J*=2.2 Hz, H-8), 7.52 (2H, d, *J*=8.6 Hz, H-2', 6'), 6.99 (2H, d, *J*=8.6 Hz, H-3', 5'), 3.72 (3H, s, OCH<sub>3</sub>); <sup>13</sup>C-NMR (150 MHz, DMSO-*d*<sub>6</sub>)  $\delta$ : 175.0 (C-4), 163.0 (C-7), 159.4 (C-4'), 157.9 (C-9), 153.6 (C-2), 130.5 (C-2', 6'), 127.7 (C-5), 124.7 (C-1'), 123.6 (C-3), 117.0 (C-10), 115.6 (C-6), 114.0 (C-3', 5'), 102.5 (C-8), 55.6 (4'-OCH<sub>3</sub>)。以上数据与文献报道基本一致<sup>[12]</sup>, 故鉴定化合物 4 为芒柄花黄素。

**化合物 5:** 淡黄色粉末, ESI-MS  $m/z$ : 271.1 [M-H]<sup>-</sup>; 化学式为 C<sub>15</sub>H<sub>12</sub>O<sub>5</sub>。<sup>1</sup>H-NMR (600 MHz, DMSO-*d*<sub>6</sub>)  $\delta$ : 7.89 (1H, d, *J*=15.5 Hz, H- $\alpha$ ), 7.66 (1H, d, *J*=15.5 Hz, H- $\beta$ ), 7.52 (2H, d, *J*=8.7 Hz, H-2, 6), 6.84 (2H, d, *J*=8.7 Hz, H-3, 5), 5.85 (2H, brs, H-3', 5'); <sup>13</sup>C-NMR (600 MHz, DMSO-*d*<sub>6</sub>)  $\delta$ : 192.2 (C-C=O), 165.2 (C-4'), 164.9 (C-2', 6'), 160.3 (C-4), 142.8 (C- $\alpha$ ), 130.8 (C-2, 6), 126.6 (C-1), 124.3 (C- $\beta$ ), 116.5 (C-3, 5), 104.7 (C-1'), 95.4 (C-3', 5')。以上数据与文献报道基本一致<sup>[13]</sup>, 故鉴定化合物 5 为柑橘查耳酮。

**化合物 6:** 白色固体, ESI-MS  $m/z$ : 164 [M-H]<sup>-</sup>; 化学式为 C<sub>9</sub>H<sub>11</sub>NO<sub>2</sub>。<sup>1</sup>H-NMR (600 MHz, DMSO-*d*<sub>6</sub>)  $\delta$ : 7.25~7.36 (5H, m, H-2~6), 3.52 (1H, dd, *J*=14.4, 4.0 Hz, H-2'), 3.32 (1H, d, *J*=4.0 Hz, H-3'a), 3.16 (1H, d, *J*=14.4 Hz, H-3'b); <sup>13</sup>C-NMR (150 MHz, DMSO-*d*<sub>6</sub>)  $\delta$ : 173.7 (C-1'), 137.3 (C-1), 130.4 (C-3, 5), 129.9 (C-2, 6), 128.4 (C-4), 57.6 (C-2'), 38.3 (C-3')。以上数据与苯丙氨酸对照品的核磁数据基本一致, 故鉴定化合物 6 为苯丙氨酸。

**化合物 7:** 白色无定型粉末, ESI-MS  $m/z$ : 369 [M-H]<sup>-</sup>; 化学式为 C<sub>19</sub>H<sub>30</sub>O<sub>7</sub>。<sup>1</sup>H-NMR (600 MHz, DMSO-*d*<sub>6</sub>)  $\delta$ : 1.96, 2.36 (2H, d, *J*=16.4 Hz, H-2), 5.79 (1H, s, H-4), 2.61 (1H, d, *J*=8.8 Hz, H-6), 5.57 (1H, dd, *J*=15.2, 6.4 Hz, H-8), 5.68 (1H, dd, *J*=15.6, 9.2 Hz, H-7), 4.29 (1H, m, H-9), 1.19 (3H, d, *J*=6.0 Hz, H-10), 0.93 (3H, s, H-11), 0.91 (3H, s, H-12), 1.85 (3H, s, H-13), 4.18 (1H, d, *J*=8.0 Hz, glc-H-1); <sup>13</sup>C-NMR (150 MHz, DMSO-*d*<sub>6</sub>)  $\delta$ : 35.6 (C-1), 47.4 (C-2), 197.8 (C-3), 125.0 (C-4), 161.8 (C-5), 54.6 (C-6), 129.5 (C-7), 135.2 (C-8), 72.2 (C-9), 21.8 (C-10), 27.5 (C-11), 26.5 (C-12), 22.9 (C-13), 99.6 (C-1'), 73.3 (C-2'), 77.0

(C-3'), 70.1 (C-4'), 77.1 (C-5'), 61.1 (C-6')。以上数据与文献报道基本一致<sup>[14]</sup>, 故鉴定化合物 7 为 (7E)-9-hydroxy-megastigma-4,7-dien-3-on-9-O- $\beta$ -D-glucopyranoside。

**化合物 8:** 淡黄色粉末, ESI-MS  $m/z$ : 961.3 [M-H]<sup>-</sup>; 化学式为 C<sub>44</sub>H<sub>50</sub>O<sub>24</sub>。<sup>1</sup>H-NMR (600 MHz, DMSO-*d*<sub>6</sub>)  $\delta$ : 13.53 (1H, s, 5-OH), 10.35 (1H, s, 4'-OH), 9.49 (1H, s, 4'''-OH), 7.89 (2H, d, *J*=8.4 Hz, H-2', 6'), 7.53 (1H, d, *J*=15.6 Hz, sinapoyl H-7), 7.16 (2H, d, *J*=1.8 Hz, sinapoyl H-3', 5'), 5.07 (1H, d, *J*=6.6 Hz, H-7-O-glc-1), 4.74 (2H, m, H-1-O-glc, H-1-C-glc), 3.69 (6H, s, sinapoyl OMe $\times$ 2); <sup>13</sup>C-NMR (150 MHz, DMSO-*d*<sub>6</sub>)  $\delta$ : 182.5 (C-4), 167.0 (sinapoyl C-9), 164.6 (C-2), 162.7 (C-7), 161.7 (C-4'), 159.8 (C-5), 156.8 (C-9), 149.7 (sinapoyl C-3, 5), 148.2 (sinapoyl C-7), 145.9 (sinapoyl C-4), 128.8 (C-2', 6'), 125.8 (sinapoyl C-1), 123.3 (C-1'), 116.3 (C-3', 5'), 115.7 (sinapoyl C-8), 114.4 (C-6), 111.5 (sinapoyl C-2, 6), 111.0 (C-10), 105.3 (C-3), 103.4 (C-1''), 101.2 (C-1'''), 94.0 (C-8), 81.1 (C-5''), 79.2 (C-3''), 76.0 (C-5'''), 74.2 (C-3'''), 74.0 (C-5'''), 73.0 (C-1'', 2''), 71.2 (C-2''), 70.3 (C-2''), 69.8 (C-4'', 4'', 4'''), 63.8 (C-6'''), 60.7 (C-6''), 55.9 (2 $\times$ OCH<sub>3</sub>)。以上数据与文献报道基本一致<sup>[15]</sup>, 故鉴定化合物 8 为 4'-glucosyl-6'''-sinapoylsaponarin。

**化合物 9:** 淡黄色粉末, ESI-MS  $m/z$ : 741.2 [M-H]<sup>-</sup>; 化学式为 C<sub>33</sub>H<sub>42</sub>O<sub>19</sub>。<sup>1</sup>H-NMR (600 MHz, DMSO-*d*<sub>6</sub>)  $\delta$ : 7.85 (1H, d, *J*=2.1 Hz, H-2'), 7.71 (1H, dd, *J*=8.8, 2.1 Hz, H-5'), 7.13 (1H, d, *J*=8.8 Hz, H-6'), 6.75 (1H, d, *J*=2.2 Hz, H-6), 6.39 (1H, d, *J*=2.2 Hz, H-8), 5.43 (1H, d, *J*=7.2 Hz, H-1''), 5.13 (1H, brs, H-1''), 4.10~3.10 (25H, m, H-2''~6'', 2''~5'', 3 $\times$ -OCH<sub>2</sub>, 3 $\times$ -CH<sub>2</sub>OH), 0.98 (3H, d, *J*=6.1 Hz, H-6''); <sup>13</sup>C-NMR (600 MHz, DMSO-*d*<sub>6</sub>)  $\delta$ : 177.9 (C-4), 165.1 (C-7), 161.2 (C-5), 157.0 (C-2), 156.3 (C-9), 151.2 (C-4'), 147.9 (C-5'), 134.1 (C-3), 122.9 (C-1'), 122.8 (C-2'), 114.7 (C-3'), 113.1 (C-6'), 105.5 (C-10), 101.7 (C-1''), 101.4 (C-7''), 98.8 (C-6), 93.3 (C-8), 76.8 (C-5''), 76.4 (C-3''), 74.5 (C-2''), 72.1 (C-8''), 71.0 (C-9''), 70.9 (C-4''), 70.7 (C-11''), 70.6 (C-10''), 68.7 (-OCH<sub>2</sub>), 67.6 (C-6''), 59.7 (-CH<sub>2</sub>OH), 18.1 (C-12'')。以上数据与文献报道基本一致<sup>[16]</sup>, 故鉴定化合物 9 为曲克芦丁。

**化合物 10:** 黄色粉末, ESI-MS  $m/z$ : 915.8 [M-H]<sup>-</sup>; 化学式为 C<sub>43</sub>H<sub>48</sub>O<sub>22</sub>。<sup>1</sup>H-NMR (600 MHz,

DMSO-*d*<sub>6</sub>) δ: 7.92 (2H, d, *J* = 8.4 Hz, H-2', 6'), 7.12 (2H, d, *J* = 8.4 Hz, H-3', 5'), 6.88 (1H, s, H-8), 4.67 (1H, d, *J* = 9.6 Hz, H-1'), 4.32 (1H, m, H-2'), 3.28 (1H, m, H-3'), 3.32 (1H, m, H-4'), 3.19 (1H, m, H-5'), 3.79 (1H, m, H-6'a), 3.34 (1H, m, H-6'b), 5.00 (1H, brs, H-1''), 3.88 (1H, m, H-2''), 3.15 (1H, m, H-3''), 3.02 (1H, m, H-4''), 2.98 (1H, m, H-5''), 0.67 (3H, d, *J* = 5.6 Hz, H-6''), 5.07 (1H, d, *J* = 6.90 Hz, H-1'''), 3.32 (1H, m, H-2'), 3.18 (1H, m, H-3'), 3.16 (1H, m, H-4'), 3.05 (1H, m, H-5'), 3.64 (1H, m, H-6'a), 3.55 (1H, m, H-6'b), 6.93 (1H, d, *J* = 1.8 Hz, H-2''''), 6.56 (1H, d, *J* = 7.8 Hz, H-5''''), 6.72 (1H, dd, *J* = 1.8, 7.8 Hz, H-6''''), 7.08 (1H, d, *J* = 14.8 Hz, H-7''''), 6.17 (1H, d, *J* = 14.8 Hz, H-8''''), 3.56 (3H, s, 3''''-OCH<sub>3</sub>); <sup>13</sup>C-NMR (150 MHz, DMSO-*d*<sub>6</sub>) δ: 163.5 (C-2), 104.0 (C-3), 182.1 (C-4), 159.4 (C-5), 111.0 (C-6), 162.4 (C-7), 93.6 (C-8), 156.5 (C-9), 105.0 (C-10), 123.0 (C-1'), 128.1 (C-2', 6'), 116.4 (C-3', 5'), 160.3 (C-4'), 72.6 (C-1''), 80.7 (C-2''), 78.8 (C-3''), 69.7 (C-4''), 81.5 (C-5''), 60.8 (C-6''), 99.8 (C-1''), 70.8 (C-2''), 69.9 (C-3''), 73.2 (C-4''), 69.4 (C-5''), 18.6 (C-6''), 100.7 (C-1'''), 70.3 (C-2'''), 77.2 (C-3'''), 70.3 (C-4'''), 73.7 (C-5'''), 125.3 (C-1'''), 110.6 (C-2'''), 147.8 (C-3'''), 149.3 (C-4'''), 115.4 (C-5'''), 123.5 (C-6'''), 145.5 (C-7'''), 114.0 (C-8'''), 166.6 (C-9'''), 55.6 (3''''-OCH<sub>3</sub>)。以上数据与文献报道基本一致<sup>[17]</sup>, 故鉴定化合物 10 为 divarioside A。

#### 4.2 α-淀粉酶活性降糖结果

对化合物 6、7、10 进行 α-淀粉酶活性测试结果显示(表 2), 化合物 6 对 α-淀粉酶的抑制效果最好, 降糖活性明显; 化合物 10 抑制率较好, 有一定降糖效果; 化合物 7 降糖效果不显著。

表 2 化合物对 α-淀粉酶的抑制能力结果 ( $\bar{x} \pm s, n = 3$ )  
Table 2 *In vitro*α-amylase inhibition activity of compounds ( $\bar{x} \pm s, n = 3$ )

化合物	抑制率/%
6	75.40±0.27
7	52.38±2.59
10	68.70±1.57
阿卡波糖	100

#### 5 讨论

临床研究表明, 大麦苗具有显著的降糖活性。本实验共从大麦苗中首次分离得到 11 个化合物, 其中 1 为新化合物, 分离得到的主要为黄酮类化合

物。较多实验已证明大麦苗具有降糖等多种药理活性, 但目前关于大麦苗化学成分分离鉴定的文献较少, 本实验可为该植物后续药效物质基础研究提供一定的科学依据。

**利益冲突** 所有作者均声明不存在利益冲突

#### 参考文献

- 明·李时珍. 本草纲目: 校点本 [M]. 北京: 人民卫生出版社, 1982: 1455.
- 肖颜颜, 王晓洁, 戴小曼, 等. 富硒大麦苗对小鼠免疫功能的调节 [J]. 食品科学, 2009, 30(23): 401-405.
- 杜蓉, 王晓洁, 许清, 等. 富锗大麦苗体内外抗肿瘤作用 [J]. 食品科学, 2010, 31(23): 371-374.
- 乐芳华, 裴静波, 江月仙. 麦绿素对肝损伤保护作用的实验研究 [J]. 海峡药学, 2010, 22(2): 35-37.
- 毛孙忠, 范小芳, 吴小脉, 等. 麦绿素对实验性高脂血症大鼠血脂及 MDA、SOD、ET-1、NO 的影响 [J]. 食品科学, 2007, 28(1): 306-308.
- Ben-Arye E, Goldin E, Wengrower D, et al. Wheat grass juice in the treatment of active distal ulcerative colitis: A randomized double-blind placebo-controlled trial [J]. *Scand J Gastroenterol*, 2002, 37(4): 444-449.
- 鲜瑶, 张雷, 宋戈, 等. 大麦苗粉营养保健功能的研究进展 [J]. 中国食物与营养, 2016, 22(11): 73-76.
- 王晓洁, 杨立红, 史亚丽, 等. 利用小鼠实验观察大麦苗生物保健效应 [J]. 食品科学, 2006, 27(12): 750-753.
- 綦文涛, 陈文若, 陈银基, 等. 大麦功能活性物质含量与抗氧化活性的关系 [J]. 中国食品学报, 2018, 18(11): 232-239.
- Tian X, Xu X Z, Zhan H, et al. Two new O- and C-glycosylxanthones from *Gentiana tizuensis* Franch [J]. *Indian J Chem*, 2003, 42: 950-952.
- El-Ansari M A, Aboutabl E A, Farrag A R H, et al. Phytochemical and pharmacological studies on *Leonotis leonurus* [J]. *Pharm Biol*, 2009, 47(9): 894-902.
- 韦建华, 谭红声, 卢澄生, 等. 壮药两粤黄檀化学成分研究 (I) [J]. 中草药, 2017, 48(11): 2159-2163.
- 唐雨, 张瑜, 袁久志, 等. 松花粉化学成分的分离与鉴定 [J]. 沈阳药科大学学报, 2011, 28(6): 429-432.
- Li Y F, Hu L H, Lou F C, et al. PTP1B inhibitors from *Ardisia japonica* [J]. *J Asian Nat Prod Res*, 2005, 7(1): 13-18.
- Ohkawa M, Kinjo J, Hagiwara Y, et al. Three new anti-oxidative saponarin analogs from young green barley leaves [J]. *Chem Pharm Bull*, 1998, 46(12): 1887-1890.
- 李军, 徐本明, 刘珂. 曲克芦丁对照品的制备液相色谱法分离 [J]. 中国医药工业杂志, 2004, 35(5): 29-31.
- Olennikov D N, Chirikova N K. New C, O-Glycosylflavones from *Melandrium divaricatum* [J]. *Chem Nat Compd*, 2019, 55(6): 1032-1038.